

УДК 519.632.4
MSC2010 65N12 + 35J25

© Г. В. Гренкин¹

Сходимость метода Ньютона для уравнений сложного теплообмена

Доказана глобальная монотонная сходимость метода Ньютона для решения уравнений сложного теплообмена в P_1 -приближении уравнения переноса излучения.

Ключевые слова: *радиационный теплообмен, диффузионное приближение, метод Ньютона, монотонная сходимость.*

Введение

Данная работа посвящена численному решению краевой задачи, моделирующей радиационно-кондуктивный (сложный) теплообмен (диффузионное P_1 -приближение уравнения переноса излучения) в области $\Omega \subset \mathbb{R}^3$ [1]

$$-a\Delta\theta + b\kappa_a|\theta|^3\theta = b\kappa_a\varphi, \quad (1)$$

$$-\alpha\Delta\varphi + \kappa_a\varphi = \kappa_a|\theta|^3\theta \quad (2)$$

с граничными условиями на $\Gamma = \partial\Omega$

$$a\partial_n\theta + \beta(\theta - \theta_b)|_\Gamma = 0, \quad \alpha\partial_n\varphi + \gamma(\varphi - \theta_b^4)|_\Gamma = 0, \quad (3)$$

где θ — нормализованная температура, φ — нормализованная интенсивность излучения, усредненная по всем направлениям, θ_b, β, γ — заданные на Γ неотрицательные функции, a, α, b, κ_a — положительные коэффициенты, через ∂_n обозначается производная в направлении внешней нормали к Γ .

В работах [1–5] проведены доказательства однозначной разрешимости диффузионных моделей сложного теплообмена в 1-мерных и 3-мерных областях, а также построен численный алгоритм метода простой итерации. Данная итерационная процедура порождает две последовательности функций θ_k, φ_k , монотонно сходящиеся к точному решению [1]. Однако реализация предложенного алгоритма на ЭВМ затруднена, так как на одном из его этапов требуется решать нелинейное эллиптическое

¹Институт прикладной математики ДВО РАН, 690041, г. Владивосток, ул. Радио, 7; Дальневосточный федеральный университет, 690950, г. Владивосток, ул. Суханова, 8. Электронная почта: glebgrenkin@gmail.com

уравнение (1) при заданном φ . Например, в [2, 6] для преодоления данного недостатка в нелинейное уравнение включалось приближение, полученное на предыдущем шаге, в результате чего уравнение становилось линейным, и вводился малый параметр для усреднения старого и нового приближений, что затрудняло сходимость метода.

На практике свою эффективность для рассматриваемой задачи показал метод Ньютона, в котором нелинейное слагаемое θ^4 аппроксимируется выражением $\tilde{\theta}^4 + 4\tilde{\theta}^3(\theta - \tilde{\theta})$:

$$\begin{aligned} -a\Delta\theta + b\kappa_a \left((4\tilde{\theta}^3\theta - 3\tilde{\theta}^4) - \varphi \right) &= 0, & -\alpha\Delta\varphi + \kappa_a \left(\varphi - (4\tilde{\theta}^3\theta - 3\tilde{\theta}^4) \right) &= 0, \\ \alpha\partial_n\theta + \beta(\theta - \theta_b)|_\Gamma &= 0, & \alpha\partial_n\varphi + \gamma(\varphi - \theta_b^4)|_\Gamma &= 0. \end{aligned}$$

Здесь $\tilde{\theta}$ — приближение для температуры, найденное на предыдущей итерации метода Ньютона.

В настоящей работе мы рассмотрим упрощение данного метода (неполный метод Ньютона) и докажем его глобальную монотонную сходимость. Уравнения неполного метода Ньютона имеют следующий вид:

$$\begin{aligned} -a\Delta\theta + b\kappa_a \left((4\tilde{\theta}^3\theta - 3\tilde{\theta}^4) - \varphi \right) &= 0, & -\alpha\Delta\varphi + \kappa_a \left(\varphi - \tilde{\theta}^4 \right) &= 0, \\ \alpha\partial_n\theta + \beta(\theta - \theta_b)|_\Gamma &= 0, & \alpha\partial_n\varphi + \gamma(\varphi - \theta_b^4)|_\Gamma &= 0. \end{aligned}$$

Исследование монотонной сходимости метода Ньютона для эллиптического уравнения с монотонным и выпуклым нелинейным слагаемым проводилось в [7, 8]. Общие теоремы о монотонной сходимости метода Ньютона приводятся в [9, 10]. В [11] рассмотрен вопрос численного решения уравнений P_1 -приближения методом конечных объемов.

1. Постановка задачи

Предположим, что Ω — липшицева ограниченная область. Через L^p , $1 \leq p \leq \infty$, обозначаем пространство Лебега, через H^1 — пространство Соболева W_2^1 . Будем предполагать, что исходные данные удовлетворяют условиям

$$(i) \quad \theta_b, \beta, \gamma \in L^\infty(\Gamma), \quad 0 \leq \theta_b \leq M, \quad \beta \geq \beta_0 > 0, \quad \gamma \geq \gamma_0 > 0.$$

Пусть $H = L^2(\Omega)$, $V = H^1(\Omega)$, через V' обозначаем пространство, сопряженное с пространством V . Отметим, что $V \subset H = H' \subset V'$. Обозначим через (f, v) значение функционала $f \in V'$ на элементе $v \in V$, совпадающее со скалярным произведением в H , если $f \in H$.

Определим операторы $A_{1,2}: V \rightarrow V'$:

$$(A_1\theta, v) = a(\nabla\theta, \nabla v) + \int_\Gamma \beta\theta v \, d\Gamma, \quad (A_2\varphi, v) = \alpha(\nabla\varphi, \nabla v) + \int_\Gamma \gamma\varphi v \, d\Gamma$$

и функционалы $f_{1,2} \in V'$:

$$(f_1, v) = \int_{\Gamma} \beta \theta_b v \, d\Gamma, \quad (f_2, v) = \int_{\Gamma} \gamma \theta_b^4 v \, d\Gamma.$$

Замечание 1. Функционалы $(A_1 v, v)^{1/2}$ и $(A_2 v, v)^{1/2}$ представляют собой нормы в V , эквивалентные стандартной норме в V [12, с. 238].

Определение 1. Пара $\{\theta, \varphi\} \in V \times V$ называется слабым решением задачи (1)–(3), если

$$A_1 \theta + b \kappa_a (|\theta|^3 \theta - \varphi) = f_1, \quad A_2 \varphi + \kappa_a (\varphi - |\theta|^3 \theta) = f_2.$$

В [1] доказано, что задача (1)–(3) имеет единственное слабое решение $\{\theta, \varphi\}$, причем $0 \leq \theta \leq M$, $0 \leq \varphi \leq M^4$.

Сформулируем неполный метод Ньютона. Зададим начальное приближение $\theta_0 = M$. Определим последовательности θ_k, φ_k :

$$A_2 \varphi_k + \kappa_a (\varphi_k - \theta_k^4) = f_2, \quad k = 0, 1, \dots, \quad (4)$$

$$A_1 \theta_{k+1} + b \kappa_a (\theta_k^4 + 4\theta_k^3 (\theta_{k+1} - \theta_k) - \varphi_k) = f_1, \quad k = 0, 1, \dots \quad (5)$$

Линейные задачи (4), (5) имеют единственное решение, если $\theta_k \geq 0$ [12, с. 334].

2. Сходимость алгоритма

Определим оператор $\Phi: L^\infty(\Omega) \rightarrow L^\infty(\Omega) \cap V$ так: $\varphi = \Phi(\theta)$, если

$$A_2 \varphi + \kappa_a (\varphi - |\theta|^3 \theta) = f_2.$$

Лемма 1. [1] Если $0 \leq \theta \leq M$ п.в. в Ω , то $0 \leq \varphi \leq M^4$ п.в. в Ω , где $\varphi = \Phi(\theta)$.

Лемма 2. [1] Если $\theta_1 \leq \theta_2$ п.в. в Ω , то $\varphi_1 \leq \varphi_2$ п.в. в Ω , где $\varphi_i = \Phi(\theta_i)$.

Лемма 3. $0 \leq \theta_{k+1} \leq \theta_k \leq M$, $0 \leq \varphi_{k+1} \leq \varphi_k \leq M^4$ п.в. в Ω , $k = 0, 1, \dots$

Доказательство. Проведем доказательство методом математической индукции. Сначала докажем, что $0 \leq \theta_1 \leq \theta_0 = M$. Отметим, что $0 \leq \varphi_0 \leq M^4$ в силу действия леммы 1. Функция θ_1 удовлетворяет уравнению

$$A_1 \theta_1 + b \kappa_a (M^4 + 4M^3(\theta_1 - M) - \varphi_0) = f_1. \quad (6)$$

Умножая уравнение (6) на $\eta = \max\{\theta_1 - M, 0\}$, получаем

$$a \|\nabla \eta\|^2 + \int_{\Gamma} \beta \eta (\eta + M - \theta_b) \, d\Gamma + (4M^3 \eta + M^4 - \varphi_0, \eta) = 0.$$

Поскольку все слагаемые неотрицательны, то $\eta = 0$, т.е. $\theta_1 \leq M$.

Докажем неотрицательность θ_1 . Умножая уравнение (6) на $\psi = \min\{\theta_1, 0\}$, получаем

$$a\|\nabla\psi\|^2 + \int_{\Gamma} \beta\psi^2 d\Gamma + 4b\kappa_a M^3 \|\psi\|^2 = b\kappa_a(3M^4 + \varphi_0, \psi) + \int_{\Gamma} \beta\theta_b\psi d\Gamma \leq 0.$$

Следовательно, $\psi = 0$, и поэтому $\theta_1 \geq 0$.

Для проведения доказательства в случае $k \geq 1$ запишем уравнение (5) для k и $k-1$ и вычтем одно уравнение из другого. Получим

$$A_1\theta + b\kappa_a[\theta_k^4 - \theta_{k-1}^4 + 4\theta_k^3\theta - 4\theta_{k-1}^3(\theta_k - \theta_{k-1}) - (\varphi_k - \varphi_{k-1})] = 0, \quad (7)$$

где $\theta = \theta_{k+1} - \theta_k$. Согласно гипотезе индукции, $0 \leq \theta_k \leq \theta_{k-1}$, тогда по лемме 2 $0 \leq \varphi_k \leq \varphi_{k-1}$.

Умножим уравнение (7) на функцию $\eta = \max\{\theta, 0\}$. Получим

$$(A_1\eta, \eta) + (4\theta_k^3\eta, \eta) + b\kappa_a(\theta_k^4 - \theta_{k-1}^4 - 4\theta_{k-1}^3(\theta_k - \theta_{k-1}), \eta) = b\kappa_a(\varphi_k - \varphi_{k-1}, \eta) \leq 0.$$

В силу выпуклости функции $x \mapsto x^4$

$$\theta_{k-1}^4 + 4\theta_{k-1}^3(\theta_k - \theta_{k-1}) \leq \theta_k^4,$$

поэтому третье слагаемое неотрицательно. Следовательно, $\eta = 0 \Rightarrow \theta_{k+1} \leq \theta_k$.

Докажем неотрицательность θ_{k+1} . Умножая уравнение (5) на $\psi = \min\{\theta_{k+1}, 0\}$, получаем

$$a\|\nabla\psi\|^2 + \int_{\Gamma} \beta\psi^2 d\Gamma + b\kappa_a(4\theta_k^3\psi, \psi) = b\kappa_a(3\theta_k^4 + \varphi_k, \psi) + \int_{\Gamma} \beta\theta_b\psi d\Gamma \leq 0.$$

Следовательно, $\psi = 0$, и поэтому $\theta_{k+1} \geq 0$. \square

Теорема 1. *Неполный метод Ньютона сходится: $\theta_k \rightarrow \theta$, $\varphi_k \rightarrow \varphi$ в V , где $\{\theta, \varphi\}$ — слабое решение задачи (1)–(3).*

Доказательство. Последовательности θ_k , φ_k монотонно убывают и ограничены снизу, следовательно, $\theta_k \rightarrow \theta$, $\varphi_k \rightarrow \varphi$ п.в. в Ω . По теореме Лебега $\theta_k \rightarrow \theta$, $\varphi_k \rightarrow \varphi$ в H . Из уравнений (4), (5) вытекает, что последовательности θ_k , φ_k ограничены в V , поэтому можно выделить подпоследовательности $\theta_k \rightarrow \theta$, $\varphi_k \rightarrow \varphi$ слабо в V .

Сделаем предельный переход в уравнениях (4), (5). В силу непрерывности операторов A_1 , A_2 получаем $A_1\theta_k \rightarrow A_1\theta$, $A_2\varphi_k \rightarrow A_2\varphi$. Сходимость $\theta_k^4 \rightarrow \theta^4$ в H вытекает из оценки

$$\int_{\Omega} (\theta_k^4 - \theta^4)^2 dx \leq 16M^6 \|\theta_k - \theta\|^2 \rightarrow 0.$$

Так как $\theta \leq \theta_{k+1} \leq \theta_k$, то

$$\int_{\Omega} (\theta_k^3\theta_{k+1} - \theta^4)^2 dx \leq \int_{\Omega} (\theta_k^4 - \theta^4)^2 dx \rightarrow 0,$$

следовательно, $\theta_k^3\theta_{k+1} \rightarrow \theta^4$ в H .

Полученные предельные переходы позволяют утверждать, что $\{\theta, \varphi\}$ — слабое решение задачи (1)–(3).

Из монотонности и ограниченности последовательностей θ_k, φ_k вытекает монотонность и ограниченность последовательностей следов $\theta_k|_\Gamma, \varphi_k|_\Gamma$, поэтому $\theta_k|_\Gamma \rightarrow \theta|_\Gamma, \varphi_k|_\Gamma \rightarrow \varphi|_\Gamma$ п.в. на Γ и в $L^2(\Gamma)$.

Умножим уравнения (4), (5) на произвольные функции $v, w \in V$:

$$\alpha(\nabla\varphi_k, \nabla v) + \int_{\Gamma} \gamma\varphi_k v d\Gamma + \kappa_a(\varphi_k - \theta_k^4, v) = \int_{\Gamma} \gamma\theta_b^4 v d\Gamma, \quad (8)$$

$$a(\nabla\theta_{k+1}, \nabla w) + \int_{\Gamma} \beta\theta_{k+1} w d\Gamma + b\kappa_a(\theta_k^4 + 4\theta_k^3(\theta_{k+1} - \theta_k) - \varphi_k, w) = \int_{\Gamma} \beta\theta_b w d\Gamma. \quad (9)$$

Делая предельный переход в (8), (9) и учитывая определение слабого решения задачи (1)–(3), получим, что $(\nabla\varphi_k, \nabla v) \rightarrow (\nabla\varphi, \nabla v)$, $(\nabla\theta_k, \nabla w) \rightarrow (\nabla\theta, \nabla w)$; следовательно, $\nabla\varphi_k \rightharpoonup \nabla\varphi$, $\nabla\theta_k \rightharpoonup \nabla\theta$ слабо в H .

Умножая уравнения (4), (5) на φ_k и θ_{k+1} соответственно и учитывая определение слабого решения задачи (1)–(3), нетрудно показать, что $\|\nabla\varphi_k\| \rightarrow \|\nabla\varphi\|$, $\|\nabla\theta_k\| \rightarrow \|\nabla\theta\|$; отсюда $\nabla\varphi_k \rightarrow \nabla\varphi$, $\nabla\theta_k \rightarrow \nabla\theta$ сильно в H , поэтому $\varphi_k \rightarrow \varphi$, $\theta_k \rightarrow \theta$ в V . \square

3. Численные эксперименты

Вычислительные эксперименты показали, что неполный метод Ньютона сходится значительно медленнее, чем полный метод Ньютона.

Рассмотрим пример квадратной области со стороной $L=0.25$. Значения параметров таковы: $a=1.2$, $\alpha=0.00333$, $\kappa_a=100$, $b=226.4$, $\beta=10$, $\gamma=0.3$. Коэффициенты соответствуют физическим параметрам стекла. Граничная температура θ_b имеет вид $\theta_b(x,0)=0.5$, $\theta_b(x,L)=1$, $\theta_b(0,y)=\theta_b(L,y)=0.5+y/(2L)$.

Приведем зависимость погрешностей (в L^∞ -норме) неполного и полного методов Ньютона от количества итераций. При вычислении погрешностей вместо точного решения, которое нам неизвестно, используем приближенное решение, вычисленное полным методом Ньютона.

Для вычислений используется пакет FreeFem++. При построении конечноэлементной сетки стороны квадрата разбиваются на 300 частей, используются сплайны P_1 . В качестве начального приближения для температуры возьмем $M=1$. Исходный код доступен по ссылке <https://github.com/grenkin/test-newton/>.

В табл. 1а представлена погрешность полного метода Ньютона, на рис. 1 приведен график зависимости погрешности неполного метода Ньютона от количества итераций. Точность 10^{-4} достигается за 4 итерации в полном методе Ньютона и за 626 итераций в неполном методе Ньютона.

Рассмотрим еще один пример с квадратной областью со стороной $L=1$, $a=0.0515$, $\alpha=0.0333$, $\kappa_a=1$, $b=104.8$. Функция θ_b и параметры β, γ такие же, как в предыдущем примере. Коэффициенты соответствуют физическим параметрам воздуха.

В табл. 1б представлена погрешность полного метода Ньютона, на рис. 2 приведен график зависимости погрешности неполного метода Ньютона от количества

Табл. 1. Погрешность полного метода Ньютона:
а) на первом тесте; б) на втором тесте

| | |
|---|----------|
| 1 | 0.20 |
| 2 | 0.054 |
| 3 | 0.0046 |
| 4 | 0.000033 |

а)

| | |
|---|----------|
| 1 | 0.20 |
| 2 | 0.056 |
| 3 | 0.0052 |
| 4 | 0.000046 |

б)

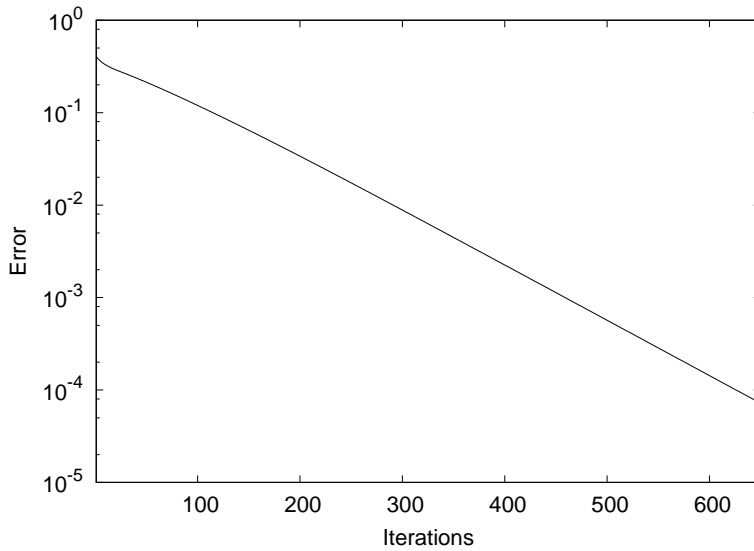


Рис. 1. Погрешность неполного метода Ньютона на первом тесте

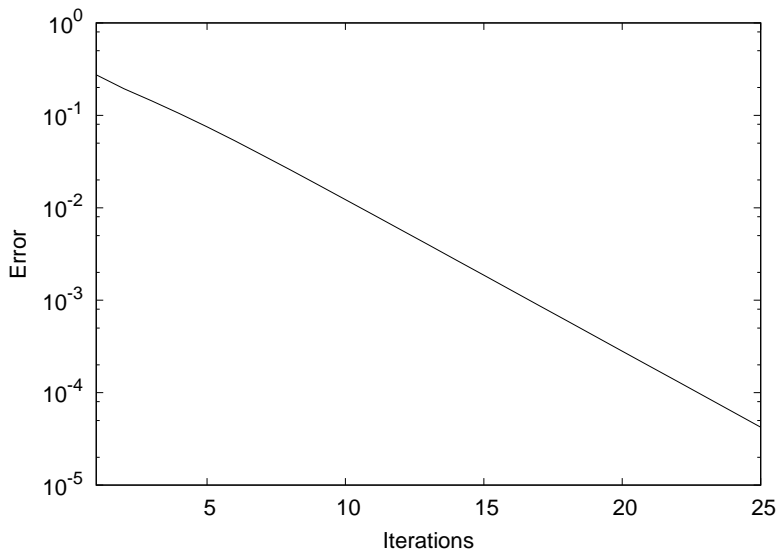


Рис. 2. Погрешность неполного метода Ньютона на втором тесте

итераций. Точность 10^{-4} достигается за 4 итерации в полном методе Ньютона и за 23 итерации в неполном методе Ньютона.

Графики иллюстрируют, что неполный метод Ньютона имеет линейную скорость сходимости. Приведенные примеры показывают как крайне медленную (тест 1), так и умеренную (тест 2) сходимость.

Теоретический анализ сходимости полного метода Ньютона является открытой проблемой.

Список литературы

- [1] A. E. Kovtanyuk, A. Yu. Chebotarev, N. D. Botkin, K.-H. Hoffmann, “Unique solvability of a steady-state complex heat transfer model”, *Commun. Nonlinear Sci. Numer. Simul.*, **20**:3, (2015), 776–784.
- [2] A. Astrakhantseva, A. Kovtanyuk, “Numerical modeling the radiative-convective-conductive heat transfer”, *2014 International Conference on Computer Technologies in Physical and Engineering Applications (ICCTPEA)*, 2014, 106–107.
- [3] A. E. Kovtanyuk, A. Yu. Chebotarev, “An iterative method for solving a complex heat transfer problem”, *Appl. Math. Comput.*, **219**:17, (2013), 9356–9362.
- [4] A. E. Kovtanyuk, A. Yu. Chebotarev, N. D. Botkin, K.-H. Hoffmann, “Solvability of P_1 approximation of a conductive-radiative heat transfer problem”, *Appl. Math. Comput.*, **249**, (2014), 247–252.
- [5] A. E. Kovtanyuk, A. Yu. Chebotarev, “Nonlocal unique solvability of a steady-state problem of complex heat transfer”, *Comput. Math. Math. Phys.*, **56**:5, (2016), 816–823.
- [6] A. Yu. Chebotarev, A. E. Kovtanyuk, G. V. Grenkin, N. D. Botkin, K.-H. Hoffmann, “Nondegeneracy of optimality conditions in control problems for a radiative-conductive heat transfer model”, *Appl. Math. Comput.*, **289**, (2016), 371–380.
- [7] N. L. Schryer, “Newton’s method for nonlinear elliptic boundary value problems”, *Numer. Math.*, **17**:4, (1971), 284–300.
- [8] Э. М. Мухамадиев, В. Я. Стеценко, “Достаточные условия сходимости метода Ньютона-Канторовича при решении краевых задач для квазилинейных уравнений эллиптического типа”, *Сиб. матем. журн.*, **12**:3, (1971), 576–582.
- [9] Д. Ортега, В. Рейнболдт, *Итерационные методы решения нелинейных систем уравнений со многими неизвестными*, Мир, М., 1975.
- [10] F. A. Potra, W. C. Rheinboldt, “On the monotone convergence of Newton’s method”, *Computing*, **36**:1, (1986), 81–90.
- [11] T. Gallouët, R. Herbin, A. Larcher, J.-C. Latché, “Analysis of a fractional-step scheme for the P_1 radiative diffusion model”, *Comput. Appl. Math.*, **35**:1, (2016), 135–151.
- [12] E. Zeidler, *Nonlinear functional analysis and its applications. II/A: Linear monotone operators*, Springer, New York, 1990.

Grenkin G. V. Convergence of Newton's method for equations of complex heat transfer. *Far Eastern Mathematical Journal*. 2017. V. 17. No 1. P. 3–10.

ABSTRACT

Global monotonic convergence of Newton's method is proved for solving equations of complex heat transfer within the P_1 approximation of the radiative transfer equation.

Key words: *radiative heat transfer, diffusion approximation, Newton's method, monotonic convergence.*